

พฤติกรรมของผนังคอนกรีตบล็อกเสริมเหล็กแบบไร้ปูนก่อภัยใต้แรงกดอัด

BEHAVIORS OF MORTARLESS REINFORCED CONCRETE MASONRY WALL UNDER AXIAL COMPRESSION

สิทธิชัย เลิศวิชัย

นักศึกษาระดับบัณฑิตศึกษา สาขาวิชาวิศวกรรมโยธา มหาวิทยาลัยเทคโนโลยีสุรนารี civil3281@hotmail.com

สิทธิชัย แสงอาทิตย์

ผู้ช่วยศาสตราจารย์ สาขาวิชาวิศวกรรมโยธา มหาวิทยาลัยเทคโนโลยีสุรนารี sitichai@ccs.sut.ac.th

บทคัดย่อ : บทความนี้มีวัตถุประสงค์เพื่อเสนอพฤติกรรมของผนังคอนกรีตเสริมเหล็กแบบไร้ปูนก่อภัยใต้แรงกดอัด และทำการเปรียบเทียบค่าหน่วยแรงกดอัดที่ได้กับสมการออกแบบของ ACI และของ Australian Standard ตัวแปรที่ใช้ในการศึกษาประกอบด้วย ความชื้นของผนังและรูปแบบการกรอกปูนกรอก จากการศึกษาพบว่า ผนังโดยส่วนใหญ่มีพฤติกรรมแบบเชิงเส้นตรงถึง 65-80 เปอร์เซ็นต์ของกำลังรับแรงกดอัดสูงสุดของผนัง จากนั้น พฤติกรรมของผนังจะเป็นแบบไม่เชิงเส้นตรงจนกระทั่งถึงจุดรับแรงสูงสุด การวินิจฉัยของผนังมีลักษณะเป็นแบบค่อยเป็นค่อยไป โดยที่ผนังแบบกรอกปูนกรอกทุกช่องและผนังแบบกรอกปูนกรอกช่องเว้นช่องมีค่ากำลังรับแรงกดอัดสูงสุดใกล้เคียง แต่ผนังแบบกรอกปูนกรอกทุกช่องมีค่าความแกร่งสูงกว่าผนังแบบกรอกปูนกรอกช่องเว้นช่องอยู่ในช่วง 8-19 เปอร์เซ็นต์ นอกจากนั้นแล้ว ค่าแรงกดอัดสูงสุดที่ทดสอบ ได้มีค่าอัตราส่วนปลดอคกิจอยู่ในช่วง 3.38-6.44 และ 2.06-4.54 เมื่อเปรียบเทียบกับค่าแรงกดอัดที่ยอมให้ที่คำนวณได้จากสมการออกแบบของ ACI และของ Australian Standard ตามลำดับ

ABSTRACT : The objectives of this paper is to present the behavior of mortarless reinforced concrete masonry wall subjected to axial compression and to compare the obtained ultimate compressive strength with the allowable compressive strength calculated by using the ACI and Australian Standard design equations. The variables studied were the slenderness ratios and the grouting patterns. From the study, it was found that the behavior of the masonry wall was linear up to 65 to 80% of the ultimate compressive strength of the wall. Then, the behavior was nonlinear to the ultimate compressive strength. The failure of the masonry walls were in the progressive mode of failure. The wall with fully grouted and partially grouted had a very close value of the ultimate compressive strength. But, the wall with fully grouted had the stiffness 8-19% higher than that of the wall with partially grouted. Also, it was found that the factor of safety of the obtained ultimate compressive strength were in the range of 3.38-6.44 and 2.06-4.54 when compared to the allowable compressive strength calculated by using the ACI and Australian Standard design equations, respectively.

KEYWORDS : MORTARLESS REINFORCED CONCRETE MASONRY WALL, CONCRETE BLOCK, AXIAL COMPRESSION

1. บทนำ

โครงสร้างของอาคารคอนกรีตเสริมเหล็กในประเทศไทยมักจะถูกออกแบบและก่อสร้างโดยระบบโครงสร้างแบบเสา-คาน ซึ่งเป็นรูปแบบการก่อสร้างที่ค่อนข้างบุกเบิก ใช้เวลาไม่นาน และต้องการแรงงานที่มีทักษะและประสบการณ์สูง นอกจากนั้นแล้ว การก่อสร้างโครงสร้างดังกล่าวต้องใช้แบบหล่อคอนกรีต ซึ่งมักจะทำด้วยไม้ ทำให้เกิดการตัดไม้ทำลายป่าอันเป็นผลเสียต่อสภาพแวดล้อม ในด้านประเทศไทย ได้มีการพัฒนารูปแบบก่อสร้าง ซึ่งสามารถจัดปัญหาที่เกี่ยวข้องกับการใช้เสาและคานคือ ผนังวัสดุก่อรับน้ำหนัก (load bearing masonry wall) (อนุสรณ์และอนิรุทธิ์, 2542) โดยทั่วไปแล้ว ในการก่อสร้างผนังวัสดุก่อรับน้ำหนัก ขั้นตอนการก่อปูนก่อ (mortar) จะเป็นขั้นตอนที่เสียเวลาและต้องการช่างที่มีฝีมือแรงงานสูง ดังนั้น เพื่อเป็นการลดปัญหาดังกล่าว จึงได้มีการพัฒนารูปแบบการก่อสร้างผนังดังกล่าวแบบไม่ใช้ปูนก่อคือ 1.) การก่อสร้างโดยใช้อิฐดินเผาต์โดยอิฐดินเผาต์ได้ถูกออกแบบให้มีรูปร่างที่ยืดหยุ่นได้ระหว่างก้อน (interlocking) อย่างไร้ตัว ผนังระบบนี้จะไม่ค่อยมีความแข็งแรงมากนักเมื่อต้องรับแรงกระทำทางด้านข้าง (lateral load) อีกทั้งยังไม่เป็นที่ยอมรับสำหรับการก่อสร้างบ้านระดับกลางขึ้นไป (อนุสรณ์และอนิรุทธิ์, 2542) 2.) การก่อสร้างโดยใช้ผนังคอนกรีตหล่ออัดแรง (prestressed concrete masonry wall) โดยทำการเสริมความอัดแรงภายในห้องที่เทปูนกรอก (grout) จากนั้น ทำการอัดแรงโดยใช้ไฮดรอลิกแจ็ค (hydraulic jack) (Marzahn, 1992) การก่อสร้างผนังระบบนี้จำเป็นต้องใช้ความรู้และทักษะความสามารถของแรงงานที่ค่อนข้างสูงและมีค่าใช้จ่ายสูง ทำให้การก่อสร้างรูปแบบนี้ยังไม่เหมาะสมสำหรับการก่อสร้างภายในประเทศไทย

ในการผนังวัสดุก่อเสริมเหล็กแบบใช้ปูนก่อ ข้อกำหนดของ American Concrete Institute ACI 530-92 แบ่งผนังดังกล่าวออกเป็น 2 ประเภทคือ ผนังที่มีอัตราส่วนความชลุคมากกว่า หรือเท่ากับ 99 จะเป็นผนังสูง การวิบัติของผนังประเภทนี้ภายใต้แรงกดอัดในแนวแกนจะเป็นการวินติแบบสียะสเลียร์พาฟ โดยเกิดการโกร่งเคาะด้านข้าง (lateral buckling) ถ้าผนังที่มีอัตราส่วนความชลุคน้อยกว่า 99 จะเป็นผนังเตี้ย การวิบัติของผนังประเภทนี้ภายใต้แรงกดอัดในแนวแกนจะเกิดจากการวินติของวัสดุ (material failure) เป็นหลัก ในการออกแบบผนังเตี้ย มาตรฐาน ACI ได้เสนอสมการแรงกดอัดที่ยอมให้ (allowable compressive

force) ของผนัง โดยวิธีหน่วยแรงใช้งาน (working stress design) ดังที่แสดงในสมการที่ 1

$$P_a = \left(0.25 f'_m A_n + 0.65 A_{st} F_s \right) \left[1 - \left(\frac{h}{140r} \right)^2 \right] \quad (1)$$

โดยที่ P_a คือแรงกดอัดที่ยอมให้ของผนัง f'_m คือกำลังรับแรงกดอัดของปูนมวลศุภก่อ (compressive strength of masonry) A_n คือพื้นที่หน้าตัดสุทธิของวัสดุก่อ A_{st} คือพื้นที่หน้าตัดของเหล็กเสริม F_s คือหน่วยแรงดึงหรือหน่วยแรงกดอัดที่ยอมให้ของเหล็กเสริม โดยมีค่าได้ไม่เกิน 165.5 MPa สำหรับเหล็กเสริมเกรด 60 h คือความสูงของผนัง r คือ radius of gyration ของผนังที่กว้าง 1 เมตร โดยหาได้จากสมการ $r = \sqrt{t^2 / 12}$ โดยที่ t คือความหนาของผนัง

จากสมการที่ 1 จะเห็นได้ว่า สมการดังกล่าวไม่มีเทอมที่แทนกำลังรับแรงกดอัดของปูนกรอกปรากนอยู่ เนื่องจาก ACI พิจารณาว่าปูนกรอกมีผลต่อกำลังของผนังค่อนข้างน้อย อย่างไรก็ตาม มีมาตรฐานการออกแบบของประเทศอื่น เช่น Australian Standard AS3700-98 ได้พิจารณาถึงกำลังของปูนกรอกด้วย โดยได้เสนอสมการออกแบบผนังวัสดุก่อเสริมเหล็กแบบใช้ปูนกรอกโดยวิธีกำลัง (ultimate stress design) ดังที่แสดงในสมการที่ 2

$$F_d \leq \phi k_s \left[f'_m A_b + k_c \sqrt{\frac{f'_{cg}}{1.3} A_c + f'_{sy} A_s} \right] \quad (2)$$

โดยที่ F_d คือแรงกดอัดที่ใช้ออกแบบผนัง ซึ่งคำนวณได้ตามข้อกำหนดของ Australian Standard และคูณด้วยตัวคูณน้ำหนักบรรทุก (load factor) ซึ่งมีค่าเท่ากับ 1.5 สำหรับน้ำหนักบรรทุกจร (live load) A_b คือพื้นที่หน้าตัดสุทธิของวัสดุก่อ f'_{cg} คือกำลังรับแรงกดอัดของปูนกรอก โดยมีค่าได้ไม่เกินกำลังรับแรงกดอัดของก้อนวัสดุก่อ A_c คือพื้นที่หน้าตัดของปูนกรอก f'_{sy} คือ กำลังครากของเหล็กเสริม A_s คือพื้นที่หน้าตัดของเหล็กเสริม ϕ คือตัวคูณลดกำลัง (capacity reduction factor) มีค่าเท่ากับ 0.75 สำหรับผนังวัสดุก่อเสริมเหล็ก k_s คือตัวคูณลด (reduction factor) หากได้จากสมการ $k_s = 1.18 - 0.03S_r$, แต่มีค่าไม่เกิน 1.0 โดยที่ S_r คืออัตราส่วนความชลุค ซึ่งหาได้จากสมการ $S_r = a_v H / k_t t$ เมื่อ a_v คือสัมประสิทธิ์ความชลุค

(slenderness coefficient) มีค่าเท่า 1.0 เมื่อผนังถูกรองรับที่ปลายบนสุดและล่างสุดของผนัง H คือความสูงของผนัง k_t คือสัมประสิทธิ์ความหนา (thickness coefficient) ถ้าผนังไม่มีเสาเอ็นยึดแล้ว k_t ถูกกำหนดให้มีค่าเท่ากับ 1.0 k_c คือตัวคุณกำลัง (strength factor) ของปูนกรอก โดยกำหนดให้มีค่าเท่ากับ 1.4 สำหรับคอนกรีตบล็อกกลวงที่มีความหนาแน่นมากกว่า 2000 kg/m^3 นอกเหนือจากนี้แล้ว ให้ใช้ k_c เท่ากับ 1.2

จุดประสงค์หลักของการศึกษาคือ เพื่อศึกษาพฤติกรรมการรับน้ำหนักและการวิบัติของผนังคอนกรีตบล็อกเสริมเหล็กแบบไร้ปูนก่อซึ่งถูก teste ทำโดยแรงกดอัดในแนวแกนแบบเป็นจุด และเปรียบเทียบค่าหน่วยแรงกดอัดที่ทดสอบได้กับสมการออกแบบของ ACI และของ Australian Standard โดยที่ตัวแปรที่ใช้ในการศึกษาประกอบด้วยอัตราส่วนความชลุดของผนัง 3 ค่าได้แก่ 19.79 60.62 และ 70.52 และรูปแบบการกรอกปูนกรอก 2 รูปแบบได้แก่ กรอกช่องเว้นช่อง (partially grouted) และกรอกทุกช่อง (fully grouted)

2. ตัวอย่างทดสอบและวิธีการทดสอบ

2.1 การทดสอบคุณสมบัติของวัสดุที่ใช้ในงานวิจัย

การทดสอบคุณสมบัติของวัสดุที่ใช้ในงานวิจัยได้กระทำตาม มาตรฐานของ American Society for Testing and Materials (ASTM) คือ การทดสอบกำลังรับแรงดึงของเหล็กเสริมตาม มาตรฐาน ASTM E8 การทดสอบกำลังรับแรงกดอัดของปูนกรอกตามมาตรฐาน ASTM 1019-89a การทดสอบกำลังรับแรงกดอัดของคอนกรีตบล็อกตามมาตรฐาน ASTM C140-96 และ การทดสอบกำลังรับแรงกดอัดของปริซึมคอนกรีตบล็อกตาม มาตรฐาน ASTM E447-92b

2.2 การทดสอบกำลังรับแรงกดอัดของผนังคอนกรีตบล็อกเสริมเหล็กแบบไร้ปูนก่อ

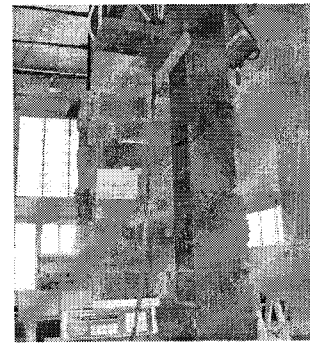
ตัวอย่างผนังแต่ละผนังจะถูกก่อสร้างขึ้นด้วยคอนกรีตบล็อกกลวงที่ถูกผลิตโดยโรงงานแห่งหนึ่งในจังหวัดสระบุรี ดังที่แสดงในรูปที่ 1 โดยมีขนาด $39 \times 19 \times 14$ เซนติเมตรและจัดเป็นคอนกรีตบล็อกตามมาตรฐานอุตสาหกรรมไทย มอก. 57-2530 ประเภทรับน้ำหนักและไม่ควบคุมความชื้น

ขั้นตอนการก่อสร้างตัวอย่างผนังทดสอบมีดังนี้ 1). ทำการปรับพื้นที่สำหรับใช้ในการสร้างตัวอย่างทดสอบให้ได้ระดับโดยการใช้มอร์ตาร์ปรับระดับ 2). นำคอนกรีตบล็อกมาวางเป็นชั้นๆ

แบบสถาบันก่อน (running bond) โดยไม่ต้องใช้ปูนก่อ และหลังจากวางเสร็จในแต่ละชั้นแล้วจึงทำการตรวจสอบการได้ระนาบของคอนกรีตบล็อกด้วยระดับน้ำ ทำเช่นนี้ไปเรื่อยๆจนผนังมีความสูง 1.20 เมตร หรือ 6 ก้อนตามข้อกำหนดของ ACI 530.1-92 ตารางที่ 4.3.3.4 3). ทำการเสริมเหล็กในแนวความสูงของผนัง โดยพยากรณ์ความคุณให้เหล็กเสริมอยู่ในแนวเดิ่งให้มากที่สุด 4). ทำการเทปูนกรอกที่มีอัตราส่วนผสมของปูนซีเมนต์ ทรابิ: หินเท่ากับ 1: 2.25: 3.5 โดยนำหินน้ำก๊าซ ซึ่งตามมาตรฐาน ACI 530.1-92 ตารางที่ 4.2.2.1 จัดว่าเป็นปูนกรอกชนิดหยาบ (coarse grout) ลงในโพรงช่องว่างของผนังคอนกรีตบล็อกตามรูปแบบที่กำหนดไว้แล้วทึ่งตัวอย่างทดสอบไว้ 1 วันเพื่อให้ปูนกรอกแข็งตัวและมีกำลังพอที่จะรับน้ำหนักคอนกรีตบล็อกในชั้นต่อๆไปได้ 5). ทำการก่อสร้างผนังเพิ่มจากเดิม โดยใช้ขั้นตอนเหมือนที่กล่าวไว้ข้างต้นจนได้ความสูงของผนังตามที่ต้องการ แล้วจึงปล่อยให้ผนังมีอายุครบ 7 วัน 6). ทำการติดตั้งตัวอย่างทดสอบเข้ากับ loading frame ดังที่แสดงในรูปที่ 2 จากนั้น ทำการติดตั้ง dial gauge ที่ตำแหน่งที่ก่อกลางความสูง เพื่อใช้วัดค่าการโก่งตัวทางด้านข้าง และที่ปลายด้านบนของผนังบนแผ่นรับแรงแบบท่านเพื่อใช้วัดค่าการทดสอบตัวในแนวแกนของผนัง ตารางที่ 1 แสดงรายละเอียดของตัวอย่างทดสอบที่ใช้ในการศึกษานี้



รูปที่ 1 คอนกรีตบล็อกที่ใช้ในงานวิจัย



รูปที่ 2 การติดตั้งผนังตัวอย่างทดสอบเข้ากับ loading frame

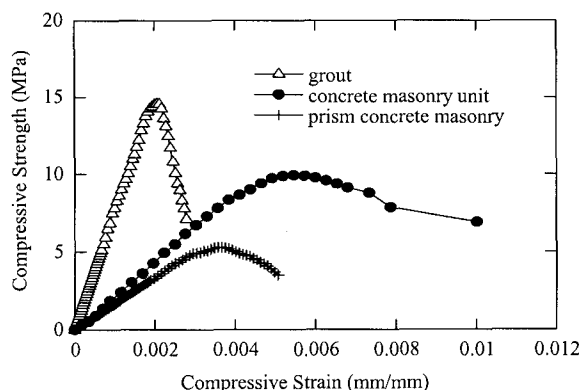
3. ผลการทดสอบ

3.1 ผลการทดสอบคุณสมบัติของวัสดุที่ใช้ในการวิจัย

จากการทดสอบวัสดุที่ใช้ในการศึกษานี้พบว่า ความสัมพันธ์ระหว่างหน่วยแรง (stress) และความเครียด (strain) ของปูนกรอก ก้อนคอนกรีตบล็อก และปริซึมคอนกรีตบล็อกแบบไร์ปูน ก่อมีลักษณะดังที่แสดงในรูปที่ 3 โดย กำลังรับแรงกดอัดสูงสุด เฉลี่ยของคอนกรีตบล็อกมีค่า 8.48 MPa กำลังรับแรงกดอัดสูงสุด เฉลี่ยของปริซึมคอนกรีตบล็อกไร์ปูนก่อมีค่า 5.23 MPa กำลังรับแรงกดอัดของปูนกรอกเฉลี่ยมีค่า 13.18 MPa และกำลังรับแรงดึง ที่จุดครากเฉลี่ยของเหล็กเสริมมีค่า 376.85 MPa

ตารางที่ 1 แสดงรายละเอียดของตัวอย่างทดสอบ

ชื่อตัวอย่าง ทดสอบ	อัตราส่วน เหล็กเสริม	อัตราส่วน ความชื้นสูตร	กรอก ปูนกรอก	จำนวน
80-P	0.015	19.79	ช่องว่างช่อง	2
245-P	0.015	60.62	ช่องว่างช่อง	2
285-P	0.015	70.52	ช่องว่างช่อง	2
80-F	0.015	19.79	ทุกช่อง	2
245-F	0.015	60.62	ทุกช่อง	2
285-F	0.015	70.52	ทุกช่อง	2

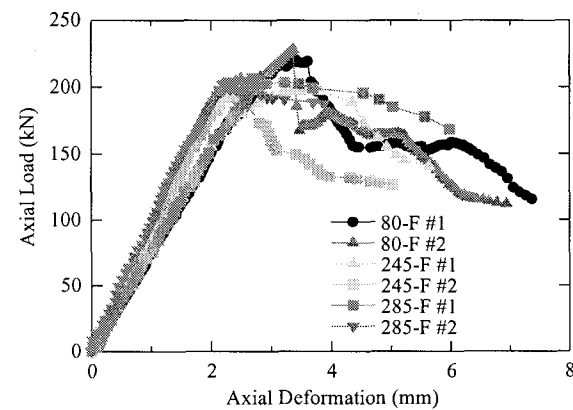


รูปที่ 3 กราฟแสดงความสัมพันธ์ระหว่างหน่วยแรงและความเครียดของวัสดุที่ใช้ในการศึกษา

3.2 พฤติกรรมและลักษณะการวินาศัยของผนัง

รูปที่ 4 เป็นกราฟแสดงสัมพันธ์ระหว่างแรงกดอัด (axial load) และระยะหดตัวในแนวแกน (axial deformation) ที่หัวกดของผนัง จากรูปจะเห็นได้ว่า โดยรวมแล้ว พฤติกรรมการรับแรงของผนังจะถูกแบ่งออกได้เป็น 3 ช่วงคือ ช่วงแรกผนังจะมีพฤติกรรมแบบเชิงเส้นตรง (linear) จนถึงค่าแรงกดอัดประมาณ $65-80$ ปอนด์เซ็นต์ต่อบาตันค่าแรงกดอัดสูงสุดของผนัง ที่จุดนี้จะสังเกตเห็นร้อยละต่อร้อยละของผนังที่สังเกตได้จากการแตกร้าวของคอนกรีตบล็อก จากนั้น พฤติกรรมของผนังจะเริ่มเข้าสู่ช่วงที่สอง

ซึ่งความชันของกราฟจะเริ่มลดลงเนื่องจากการแตกร้าวที่มีมากขึ้น ทำให้แรงกระทำเพิ่มขึ้นอย่างรวดเร็วจนถึงจุดที่ผนังรับแรงกดอัดสูงสุด อย่างไรก็ตาม พฤติกรรมของผนังในช่วงที่สองนี้เกิดขึ้นอย่างมากและในบางผนังตัวอย่าง ไม่มีพฤติกรรมแบบเชิงเส้นตรง จนถึงกำลังรับแรงกดอัดสูงสุดและจุดคลาก สุดท้าย พฤติกรรมของผนังจะเข้าสู่ช่วงที่สาม ซึ่งแรงกระทำต่อผนังจะลดลงอย่างรวดเร็ว โดยที่ระยะหดตัวในแนวแกนมีค่าเพิ่มขึ้นอย่างรวดเร็ว และมีค่าสูงมาก เนื่องจากการวินาศัยของคอนกรีตบล็อกและปูนกรอกและการคลากของเหล็กเสริม การวินาศัยของผนังในลักษณะนี้อาจถือได้ว่าเป็นการวินาศัยแบบค่อยเป็นค่อยไป (progressive mode of failure)



รูปที่ 4 กราฟแสดงความสัมพันธ์ระหว่างแรงกดอัดกับระยะหดตัวในแนวแกนที่หัวกดของผนัง

ขอให้สังเกตด้วยว่า ข้อมูลที่ได้จากการทดสอบผนังประเภทเดียวกันมีการกระจายตัวพอสมควร เนื่องจากคอนกรีตบล็อกที่ใช้ทำตัวอย่างทดสอบมีความไม่สมบูรณ์ กล่าวคือ ระบบผิวสัมผัสของคอนกรีตบล็อกแต่ละก้อนไม่ได้มีสัมผัสกันแบบเต็มหน้าตัด ภายใต้แรงในแนวแกนซึ่งเกิด stress concentration ที่บังคับผิวสัมผัสรุนแรงกว่าบริเวณอื่น ทำให้จุดดังกล่าวเกิดการวินาศัย

ตารางที่ 3 แสดงคุณสมบัติทางกลของผนังที่ทดสอบได้ โดยที่ค่าแรงกดอัดที่ผนังเกิดรอยแตกร้าวแรงกระประมาณได้โดยใช้สมการที่ 2 จาก principle of compatibility เมื่อความสัมพันธ์ระหว่างหน่วยแรงและความเครียดของวัสดุอยู่ในช่วงเส้นตรง แล้ว คอนกรีตบล็อก ปูนกรอก และเหล็กเสริมจะร่วมกันรับแรงกระทำและมีค่าความเครียดเกิดขึ้นเท่ากัน จากกราฟในรูปที่ 3 เมื่อเหล็กเสริมเกิดการแตก แรงกระประมาณจะลดลงที่จุดประดับที่

ความเครียดประมาณ 0.0021 แล้ว คอนกรีตบล็อกยังคงมีพฤติกรรมอยู่ในช่วงเดินตรง เมื่อนำค่าหน่วยแรงกดอัดที่เกิดขึ้นในวัสดุที่ความเครียดดังกล่าวแทนค่าลงในสมการที่ 2 โดยไม่ต้องคูณค่าตัวคูณลดกำลังแล้ว จะได้ค่าแรงกดอัดที่ผนังเกิดรอยแตกร้าวแรก เมื่อเปรียบเทียบแรงกดอัดที่คำนวณได้ดังกล่าวกับค่าแรงกดอัดที่เกิดรอยแตกร้าวแรกที่ได้จากการสังเกตพบว่ามีค่าโดยเฉลี่ยแตกต่างกันประมาณ ± 13 เปอร์เซ็นต์ ซึ่งสาเหตุหลักน่าจะเกิดมาจากการสังเกตรอยแตกร้าวแรกที่แท้จริงกระทำได้มาก และความแตกต่างของคุณสมบัติเฉลี่ยของวัสดุที่ใช้ในการคำนวณกับค่าคูณสมบัติจริงของวัสดุที่ใช้ในผนังด้วยกัน

ตารางที่ 3 ผลการทดสอบผนังคอนกรีตบล็อกเสริมเหล็กแบบไร้ปูนก่อ

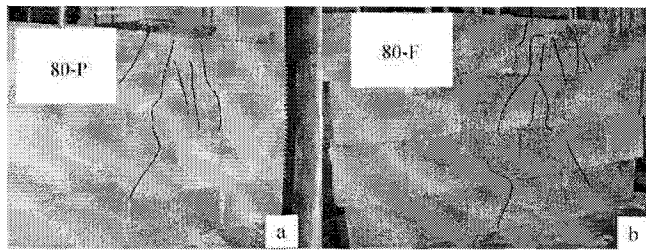
ตัวอย่าง ทดสอบ	แรงกดอัดที่เกิด ¹ รอยแตกร้าว แรก ¹ (kN)	แรงกดอัดที่เกิด ² รอยแตกร้าว แรก ² (kN)	แรงกดอัด ³ สูงสุดเฉลี่ย (kN)	ความกว้าง เฉลี่ย(kN/m)
80-P	126.41	135.00	233.70	71,916.82
245-P	82.80	100.30	194.55	76,934.72
285-P	71.96	79.44	180.70	74,252.67
80-F	135.90	146.00	224.10	85,599.50
245-F	89.01	115.80	195.45	83,657.32
285-F	77.36	73.03	205.39	82,191.46

¹ ค่าแรงกดอัดที่เกิดรอยแตกร้าวแรกที่คำนวณได้จากการทดสอบที่ 2

² ค่าแรงกดอัดที่เกิดรอยแตกร้าวแรกที่สังเกตได้จากการทดสอบ

ผนังที่ใช้ในการทดสอบจะมีพฤติกรรมการวินิจฉัยเนื่องมาจากกำลังของวัสดุ โดยการโถ่ตัวทางด้านข้างเกิดขึ้นน้อยมาก ซึ่งโดยส่วนใหญ่มีค่าสูงสุดไม่เกิน 2 มิลลิเมตร การวินิจฉัยของผนังมีลักษณะเป็นการแตกร้าวแบบเฉือนทแยง (diagonal shear failure) เนื่องจากแรงดึงร่วมกันแรงเฉือนที่เกิดจากการยืดขัดกันระหว่างมวลรวมของคอนกรีตบล็อกและปูนกรอก สำหรับชุดผนังแบบกรอกปูนกรอกซึ่งเว้นช่องจะมีลักษณะการแตกร้าวดังที่แสดงในรูปที่ 5(a) โดยที่รอยแตกร้าวจะเอียงทำมุมประมาณ 25-30 องศากับแนวดึง และสำหรับชุดผนังแบบกรอกปูนกรอกทุกช่อง รอยแตกร้าวที่เกิดขึ้นจะเอียงทำมุมประมาณ 20 องศากับแนวดึง ดังที่แสดงในรูปที่ 5(b) การวินิจฉัยในรูปแบบดังกล่าวเนื่องจากจากการที่ผนังแบบกรอกปูนกรอกทุกช่อง มีเหล็กเสริมและปูนกรอกที่ถูกเทเต็มทุกช่องซึ่งสามารถช่วยต้านทานแรงเฉือนที่เกิดขึ้นจากแรงกดอัดทำให้รอยแตกร้าวเกิดขึ้นในลักษณะถูกบังคับให้แตกเป็นมุมที่แคบ ในทางตรงกันข้าม ผนังแบบกรอก

ช่องเว้นช่องซึ่งไม่ได้กรอกปูนกรอกและไม่มีเหล็กเสริมทุกช่องแรงเฉือนที่เกิดขึ้นจะสามารถถูกส่งผ่านไปยังช่องผนังที่อยู่ติดกันได้เป็นระบบทางที่ใกล้กัน เนื่องจากไม่มีปูนกรอกที่เป็นตัวช่วยต้านทานแรงเฉือนที่เกิดขึ้น



รูปที่ 5 ตัวอย่างลักษณะการการวินิจฉัยของผนัง

4. วิเคราะห์และวิเคราะห์ผลการวินิจฉัย

จากตารางที่ 3 พบว่า ผนังแบบกรอกปูนกรอกทุกช่องมีค่าแรงกดอัดสูงสุดที่ทดสอบได้ไม่แตกต่างจากผนังกรอกปูนกรอกช่องเว้นช่อง โดยผนังทั้งสองรูปแบบมีค่ากำลังรับแรงกดอัดแตกต่างกันอยู่ในช่วง ± 13 เปอร์เซ็นต์ ซึ่งแสดงให้เห็นว่า รูปแบบการกรอกปูนกรอกไม่ได้มีส่วนช่วยทำให้กำลังรับแรงกดอัดมีค่าสูงขึ้นอย่างมีนัยสำคัญ ซึ่งสอดคล้องกับที่มาตรฐาน ACI ไม่น่าเพื่อมของปูนกรอกมาพิจารณา นอกจากนั้นแล้ว ยังพบอีกว่า ผนังที่กรอกปูนกรอกทุกช่องจะมีความแกร่งสูงกว่าผนังที่กรอกปูนกรอกแบบช่องเว้นช่อง โดยเฉลี่ยอยู่ในช่วง 8.5-19.0 เปอร์เซ็นต์ ซึ่งการที่เป็นเช่นนี้มีสาเหตุเนื่องมาจาก ผนังที่กรอกปูนกรอกทุกช่องจะมีพื้นที่ของปูนกรอกมากกว่าผนังที่กรอกปูนกรอกช่องเว้นช่องพื้นที่ของปูนกรอกดังกล่าวสามารถช่วยต้านทานการทดสอบของผนังที่เกิดขึ้นจากแรงกดอัด

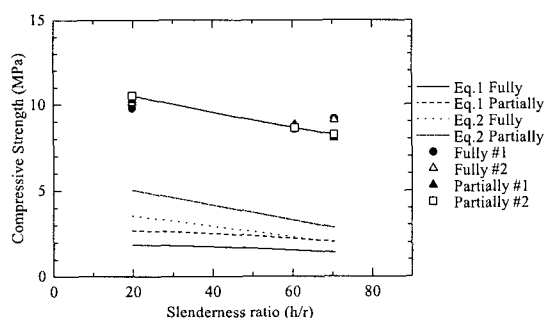
ตารางที่ 4 แสดงค่าหน่วยแรงกดอัดสูงสุดของผนังซึ่งหาได้จากการนำเอาค่าแรงกดอัดสูงสุดหารด้วยพื้นที่ของแผ่นเหล็กรับแรงแบกท่าน (bearing plate) และเมื่อเปรียบเทียบหน่วยแรงกดอัดสูงสุดที่ได้จากการทดสอบกับสมการอุปแบบของ ACI และของ Australian Standard แล้วจะพบว่า ค่าหน่วยแรงกดอัดสูงสุดที่ได้จากการทดสอบมีค่ามากกว่าค่าหน่วยแรงกดอัดที่ยอมให้ของ ACI และค่าหน่วยแรงกดอัดที่คำนวณได้จากเทอมทางด้านซ้ายมือของสมการที่ (2) ของ Australian Standard หารด้วย load factor โดยมีอัตราส่วนความปลอดภัยเฉลี่ยอยู่ระหว่าง 3.38 ถึง 6.44 เมื่อเทียบกับค่าหน่วยแรงกดอัดที่ยอมให้ของ ACI และ 2.06 ถึง 4.54 เมื่อเทียบกับค่าหน่วยแรงกดอัดที่คำนวณได้จากการของ Australian Standard ซึ่งสาเหตุที่ทำให้หัตราช่วยความ

ผลทดสอบที่หาได้จากการออกแบบของ ACI มีค่ามากกว่าอัตราส่วนความปลดภัยที่หาได้จากการออกแบบของ Australian Standard เนื่องจากว่าสมการออกแบบของ ACI ไม่ได้พิจารณาถึงผลของปูนกรอก ดังนั้น การออกแบบผนังคอนกรีตบล็อกเสริมเหล็กแบบไร้ปูนก่อจึงควรนำมาตรฐานของ ACI มา กว่า มาตรฐาน Australian Standard เนื่องจากให้ค่าอัตราส่วนความปลดภัยสูง และในประเทศไทย การควบคุมคุณภาพวัสดุต่างๆ ยังไม่ได้มาตรฐานเท่าที่ควรและความไม่เชื่อมในการออกแบบของวิศวกรและการก่อสร้างของคนงาน นอกจากนั้นแล้วยังพบว่า อัตราส่วนความปลดภัยของผนังที่กรอกปูนกรอกทุกช่องมีค่ามากกว่าผนังที่กรอกปูนกรอกช่องวันช่องประมาณ 35-60 เปอร์เซ็นต์ ซึ่งแสดงให้เห็นว่า ผนังที่กรอกปูนกรอกทุกช่องมีความปลดภัยสูงกว่าผนังที่กรอกปูนกรอกช่องวันช่อง

ตารางที่ 4 ค่าหน่วยแรงแรงกดอัคคีสูดของผนังที่ได้จากการทดสอบและจากการออกแบบ

ตัวอย่าง ทดสอบ	Test (a) (MPa)	ACI.(b) (MPa)	AS 3700 (c) (MPa)	FS. a/b	FS. a/c
80-P	10.39	2.68	5.03	3.88	2.06
80-F	9.91	1.85	3.55	5.34	2.79
245-P	8.65	2.22	3.27	3.89	2.65
245-F	8.48	1.54	2.30	5.52	3.68
285-P	8.03	2.04	2.84	3.94	2.83
285-F	9.08	1.41	2.00	6.44	4.54

รูปที่ 9 เป็นกราฟความสัมพันธ์ระหว่างกำลังรับแรงกดอัคคีและอัตราส่วนความชี้สูดของผนัง จากรูปจะเห็นได้ว่า ความสัมพันธ์ดังกล่าวมีแนวโน้มเป็นเส้นตรง โดยประมาณ และมีลักษณะที่ใกล้เคียงกับสมการออกแบบห้องสองโดยที่กำลังรับแรงกดอัคคีลดลง เมื่อผนังมีอัตราส่วนความชี้สูดมากขึ้น



รูปที่ 9 กราฟแสดงความสัมพันธ์ระหว่างกำลังรับแรงกดอัคคีและอัตราส่วนความชี้สูดของผนัง

5. สรุปผลการทดสอบ

จากการทดสอบผนังคอนกรีตบล็อกเสริมเหล็กแบบไร้ปูนก่อภายนอกแรงกดอัคคีในแนวแกนพบว่า

- ในช่วงแรก ผนังจะมีพฤติกรรมแบบเชิงเส้นตรงจนถึงประมาณ 65-80 เปอร์เซ็นต์ของแรงกดอัคคีสูด จากนั้น ผนังจะมีพฤติกรรมเป็นแบบไม่เชิงเส้น เมื่อแรงกดอัคคีมากกว่าสูดแล้ว กำลังรับแรงกดอัคคีของผนังจะลดลงและระยะหดตัวในแนวแกนจะเกิดขึ้นอย่างรวดเร็ว และผนังจะวิบัติแบบแตกร้าวของผนังแบบเฉือนหาย ซึ่งผนังแบบกรอกปูนกรอกทุกช่องจะมีมุมของรอยแตกร้าวที่แอบกว่ามุมของรอยร้าวในผนังแบบกรอกปูนกรอกทุกช่องเว้นช่อง
- ผนังที่กรอกปูนกรอกทึ่งสองรูปแบบมีค่าแรงกดอัคคีสูดที่ทดสอบได้ใกล้เคียงกัน โดยผนังที่กรอกปูนกรอกทุกช่องจะมีความแกร่งมากกว่าผนังซึ่งกรอกปูนช่องวันช่องประมาณ 8.5 ถึง 19 เปอร์เซ็นต์ นอกจากนั้นแล้ว อัตราส่วนความปลดภัยของผนังเมื่อเทียบกับสมการออกแบบของ ACI อยู่ในช่วง 3.38 ถึง 6.44 และอยู่ในช่วง 2.06 ถึง 4.54 เมื่อเทียบกับ Australian Standard โดยที่ผนังที่มีอัตราส่วนความชี้สูดที่สูงกว่าและกรอกปูนกรอกทุกช่องจะมีอัตราส่วนความปลดภัยสูงกว่า
- การออกแบบผนังคอนกรีตบล็อกเสริมเหล็กแบบไร้ปูนก่อจึงควรนำมาตรฐานของ ACI มา กว่า มาตรฐาน Australian Standard โดยอาจจะใช้สมการที่ (1) ได้โดยตรง

เอกสารอ้างอิง

- [1] มาตรฐานผลิตภัณฑ์คอนกรีตบล็อกรับน้ำหนัก มาตรฐาน 57-2530, สำนักงานมาตรฐานผลิตภัณฑ์อุตสาหกรรม, กระทรวงอุตสาหกรรม
- [2] อนิรุทธิ์ คงไชย และ อนุสรณ์ อินทรัชัย. คอนกรีตบล็อกเสริมเหล็กทางเลือกใหม่ของการก่อสร้างบ้านในเมืองไทย, การประชุมวิชาการวิศวกรรมโยธาแห่งชาติครั้งที่ 5, หน้า MAT-128 ถึง MAT-134, 2542
- [3] Australian Standard Masonry Structures AS3700-1998, Standard Australian International, NSW, Australia.
- [4] Marzhan, G., Dry-Stacked Masonry in Comparison with Mortar Jointed Masonry, LACER, No. 2, 1997, pp. 353-365.
- [5] Specifications for Masonry Structures (ACI 530.1-92/ASCE 6-92/TMS602-92), American Concrete Institute, Detroit, 1992.